

Projet Axessim : Calcul de matrice d'impédance pour la simulation numérique des lignes de transmission multi-conducteur

Proposé par C. Giraudon, P. Helluy et T. Strub,
avec J. Aghili, G. Dollé, N. Pham, A. Samake, A. Assmar

Semaine d'étude Maths-Entreprises



Strasbourg, le 27 juin 2014

Plan de la présentation I

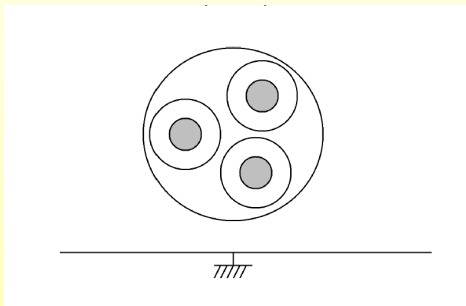
- 1 Introduction
- 2 Problème
- 3 Cas des cables et des blindages
- 4 Cas test
- 5 Conclusions et perspectives

Plan

- 1 Introduction
- 2 Problème
- 3 Cas des cables et des blindages
- 4 Cas test
- 5 Conclusions et perspectives

Problème physique

Calculer les tensions $U(z, \omega) = (u_1 \cdots u_N)^T$ et les courants $I(z, \omega) = (I_1 \cdots I_N)$ complexes dans un faisceau de conducteurs w_i , $i = 1 \cdots N$. Les cables sont entourés d'un blindage w_0 . La forme du faisceau est fixée dans le plan (x, y) et invariante suivant z .



Exemple de section de cab

Ligne de transmission

Équation des lignes de transmissions ($j^2 = -1$)

$$\frac{\partial U}{\partial z} = ZI, \quad Z = R + j\omega L,$$
$$\frac{\partial I}{\partial z} = YU, \quad Y = G + j\omega C.$$

Matrices : Impédance Z , Résistance R , Inductance L , Admittance Y , Conductance G , Capacité $C = L^{-1}$.

Propriétés des matrices :

- Symétrique
- Définie positive

Problème

Flux magnétique $\varphi(x, y)$.

Champ magnétique : ddrive d'un potentiel vecteur

$$B = \nabla \times (0, 0, \varphi)^T.$$

et

$$\nabla \times B = (0, 0, j_z)^T$$

avec

- $j_z(x, y)$: densité de courant suivant z
- $I_i = \int_{w_i} (x, y) dx dy$: courant

On a

$$-\nabla \varphi = \begin{cases} j_z \\ 0 \end{cases} \quad \text{sur } \Omega = w_0 \setminus \cup_i w_i, \quad (1)$$

Plan

- 1 Introduction
- 2 Problème
- 3 Cas des cables et des blindages
- 4 Cas test
- 5 Conclusions et perspectives

Sous forme de matrice

On peut écrire

$$\varphi = \sum_k \phi_k \tilde{\varphi}_k \quad (2)$$

avec $\tilde{\varphi}$ est solution de problème suivante

$$\begin{cases} -\Delta \tilde{\varphi} = 0 & \text{sur } \Omega \\ \tilde{\varphi} = \delta_{ij} \end{cases} \quad (3)$$

donc on a

$$\sum_j \phi_j \left(\int_{w_i} -\Delta \tilde{\varphi}_j \right) = l_i \quad (4)$$

ou bien

$$\sum_j \phi_j \left(\int_{\partial w_i} -\nabla \tilde{\varphi}_j \right) \cdot n = l_i \quad (5)$$

en d'édruit

$$\sum_j M_{ij} \phi_j = l_i \quad \forall i \quad (6)$$

Calcul la matrice M

On a

$$M_{ij} = \int_{\partial w_j} \frac{\partial \varphi_i}{\partial n} \quad (7)$$

Propriétés de la matrice M

- Symétrique
- Définie positive
- Inversible

Ou bien

$$M\phi = I \quad \text{ou bien} \quad \phi = LI \quad \text{où} \quad L = M^{-1} \quad (8)$$

Calcul la matrice M

Problème quand on a calculer directement l'intégrale : La matrice M n'est plus symétrique \Rightarrow solution : formulation faiblement

$$\int_{\Omega} -\Delta \varphi \psi = \int_w \nabla \varphi \psi - \int_{\partial w} \nabla \varphi \cdot n \psi = \int_{\partial w} \nabla \varphi \cdot n \quad (9)$$

avec $\psi \in H(w)$ satisfait

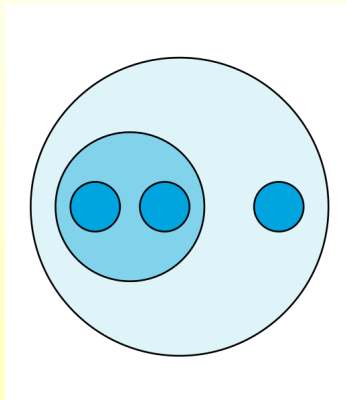
$$\psi(z) = \begin{cases} 0 & \text{si } z \in w \\ 1 & \text{si } z \in \partial w \end{cases} \quad (10)$$

Plan

- 1 Introduction
- 2 Problème
- 3 Cas des cables et des blindages**
- 4 Cas test
- 5 Conclusions et perspectives

Cas des cables et des blindages

- Blindage de référence w_0 et $N1$ conducteurs $w_1 \cdots w_N1$
- Chaque conducteur w_i a NN_i sous conducteurs dedans
- Chaque conducteur w_i matrice d'inductance L_{int}^i
- L_{ext} : matrice d'inductance des conducteurs extérieurs



Cas des cables et des blindages

On obtient

$$\begin{bmatrix} \phi_{ext} \\ \tilde{\phi}_{int}^1 \\ \vdots \\ \tilde{\phi}_{int}^{N_{int}} \end{bmatrix} = \begin{bmatrix} L_{ext} & & & \\ & L_{int}^1 & & \\ & & \ddots & \\ & & & L_{int}^{N_{int}} \end{bmatrix} \begin{bmatrix} \tilde{l}_{ext} \\ l_{int}^1 \\ \vdots \\ l_{int}^{N_{int}} \end{bmatrix}$$

en d'édulte

$$\begin{bmatrix} \phi_{ext} \\ \tilde{\phi}_{int} \end{bmatrix} = \begin{bmatrix} L_{ext} & \\ & L_{int} \end{bmatrix} \begin{bmatrix} \tilde{l}_{ext} \\ l_{int} \end{bmatrix}$$

($\tilde{\phi}_{int}$ potentiel intérieur calculé avec une référence sur les blindages)

Cas des cables et des blindages

Changement de variables

$$\phi_{int} = \tilde{\phi}_{int} + \delta^T \phi_{ext}, \quad (11)$$

avec δ : matrice de taille $N_{ext} \times N_{int}$ et

$$\delta(i,j) = \begin{cases} 1 & \text{si le conducteur } j + N_{ext} \text{ est dans le conducteur } i, \\ 0 & \text{sinon.} \end{cases} \quad (12)$$

De plus,

$$\phi_{ext} = L \tilde{l}_{ext} = L(l_{ext} - \delta l_{int}) \quad (13)$$

La matrice d'inductance globale

$$\begin{bmatrix} \phi_{ext} \\ \phi_{int} \end{bmatrix} = L \begin{bmatrix} l_{ext} \\ l_{int} \end{bmatrix}$$

avec

$$L = P_l^T \begin{bmatrix} L_{ext} & 0 \\ 0 & L_{int} \end{bmatrix} P_l, \quad \begin{bmatrix} 1 & -\delta \\ 0 & 1 \end{bmatrix}$$

Plan

- 1 Introduction
- 2 Problème
- 3 Cas des cables et des blindages
- 4 Cas test**
- 5 Conclusions et perspectives

Observation : Le modèle simple à deux niveaux avec peu de cables ne reproduit pas le problème.

Nécessite d'étudier un problème un peu plus complexe :

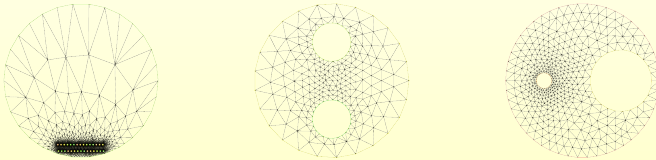


Figure: Second blindage à deux niveaux

Plan d'attaque

Procédure d'assemblage :

- Calculer les matrices M du plus bas niveau vers le haut
 - Définir la géométrie (FF++)
 - M_{ij} nécessite d'introduire une certaine fonction ψ_j localisée autour de ∂w_j (pour obtenir une parfaite symétrie)
- Procédures d'inversions de matrices denses ($M \rightarrow L$)
- Assembler δ sur le niveau le plus haut puis la matrice globale (Non achevé)

TEST

Observations

En pratique, difficultés rencontrées :

- Comprendre la théorie
- S'assurer que M est bien symétrique :
 - FreeFem++ : Automatisation des conditions aux bords multiples
 - ψ_j doit être parfaitement localisée : défauts de symétrie constatés dans le cas de simples projections.
- Adapter le maillage.

Observations

- A tous les niveaux, M , L ont les propriétés attendues
 - Définies positive, $\kappa \simeq 15$
 - Symétriques

	Niv.1	Niv. 2	Niv.3
M_{ext}	-	-	-
L_{ext}	-	-	-

Table: Temps de calculs

Plan

- 1 Introduction
- 2 Problème
- 3 Cas des cables et des blindages
- 4 Cas test
- 5 Conclusions et perspectives

Bilan :

- AAA
- BBB
- CCC

Bilan :

- AAA
- BBB
- CCC

Perspectives :

- Cas général
- Problème global -> local
- Autres
- Modèles plus complexes

Merci de votre attention !